

## بررسی تظاهر bcl-2 در انواع مهاجم و غیرمهاجم بازال سل کارسینوما

### چکیده

دکتر پیروز صالحیان دردشتی I

دکتر الهام امینی II\*

bcl-2، ژن شناخته شده ضد آپوپتوز (مرگ برنامه‌ریزی شده سلول) است که بدون اثر تحریکی بر تکثیر سلولی سبب افزایش مدت زمان حیات سلول می‌شود. تظاهر انکوژن bcl-2 در انواع مختلفی از بدخیمی‌ها از جمله سرطان‌های با درجه بدخیمی پایین مانند Basal Cell Carcinoma (BCC) گزارش شده است. یافته‌های موجود در مورد تظاهر bcl-2 در BCC متفاوت بوده و میزان بروز معادل ۶۷ تا ۱۰۰٪ را نشان می‌دهد. هدف از این مطالعه بررسی میزان و شدت تظاهر bcl-2 در موارد غیرمهاجم BCC یعنی سطحی و محدود (Circumscribed, Superficial) و موارد مهاجم (نفوذ کننده و شبه مورفه آ یا Morphea-like, Infiltrative) بوده است. در این پژوهش از آنتی‌بادی مونوکلونال ضد bcl-2 برای ارزیابی کمی و کیفی تظاهر پروتئین حاصل از این انکوژن در نمونه‌های بافتی ثابت شده در فرمالین مربوط به ۳۳ مورد BCC استفاده شد. بدین ترتیب که ۲۲ مورد غیرمهاجم و ۱۱ مورد مهاجم مورد بررسی قرار گرفتند. میزان کمی رنگ‌پذیری سلول‌های تومورال برای bcl-2 در ۴ گروه صفر تا ۲۵٪، ۲۶-۵۰٪، ۵۱-۷۵٪، ۷۶-۲۰۰٪ رتبه‌بندی شد. شدت رنگ‌پذیری سلول‌های تومورال برای bcl-2 به صورت خفیف، متوسط و شدید مورد ارزیابی قرار گرفت. bcl-2 در تمام موارد BCC تظاهر پیدا کرد اما میزان و شدت تظاهر آن در موارد غیرمهاجم به صورت معناداری از نظر آماری بالاتر از موارد مهاجم بود ( $P=0/001$ ). تظاهر متفاوت bcl-2 در زیرگروه‌های مختلف مهاجم و غیرمهاجم هیستوپاتولوژیک BCC پیشنهاد کننده این مطلب است که با وجود منشا گرفتن این تومور از سلول‌های قاعده‌ای (بازالوئید) و محدود بودن موارد متاستاز تومور، BCC دسته ناهمگونی از تومورها را تشکیل می‌دهد. میزان و شدت رنگ‌پذیری موارد BCC با رشد غیرتهاجمی برای bcl-2 نسبت به موارد BCC با رشد تهاجمی بیشتر است. به عبارت دیگر تظاهر بالای bcl-2 می‌تواند بیان کننده رفتار مطلوب در تومور بوده و در تعیین پیش‌آگهی آن مفید باشد.

کلیدواژه‌ها: ۱- bcl-2، ۲- BCC، ۳- انکوژن، ۴- آپوپتوز

### مقدمه

غشای هسته، رتیکولوم اندوپلاسمیک و غشای میتوکندری‌ها تظاهر پیدا می‌کند (۱).

انکوژن bcl-2 روی کروموزوم ۱۸ قرار گرفته و یک پروتئین ۲۴ کیلودالتونی را کد می‌کند که این پروتئین در

این مقاله خلاصه‌ای است از پایان نامه دکتر الهام امینی جهت دریافت درجه دکترای تخصصی آسیب‌شناسی به راهنمایی دکتر پیروز صالحیان دردشتی، سال ۱۳۸۲. همچنین این مطالعه تحت حمایت مالی معاونت پژوهشی دانشگاه علوم پزشکی ایران انجام شده است (شماره ثبت: ۳۲/پ).

(I) استادیار گروه آسیب‌شناسی، بیمارستان هاشمی‌نژاد، خیابان والی‌نژاد، دانشگاه علوم پزشکی و خدمات بهداشتی - درمانی ایران، تهران.

(II) دستیار آسیب‌شناسی، بیمارستان هاشمی‌نژاد، خیابان والی‌نژاد، دانشگاه علوم پزشکی و خدمات بهداشتی - درمانی ایران، تهران (\*مؤلف مسئول)

۲-bcl در تعدادی از بافت‌های طبیعی انسان، از جمله در ریشه موهای رویانی که شباهت‌های ریخت‌شناسی با بازال سل کارسینوما (BCC) دارد، تظاهر پیدا می‌کند (۱۴). ۲-bcl در پوست، در کراتینوسیت‌های لایه بازال نشان داده شده است (۱۵).

یافته‌های موجود در مورد تظاهر ۲-bcl در بازال سل کارسینوما متفاوت بوده و میزان بروزی معادل ۶۷ تا ۱۰۰٪ را نشان می‌دهد (۲۱-۱۶).

با توجه به همانندی‌های زیست شناختی بین بیماری‌های لنفوپرولیفراتیو با درجه بدخیمی پایین و BCC غیر مهاجم و شباهت ظاهری بین BCC غیرمهاجم با ریشه موهای رویانی و فولیکول مو که به نظر می‌رسد BCC از آن جا منشا می‌گیرد (۲۲)، این فرضیه که ممکن است ۲-bcl در موارد غیرمهاجم BCC (سطحی، محدود) بیش از موارد مهاجم (نفوذ کننده، شبه‌مورفه‌آ)، تظاهر پیدا کند مطرح شد.

هر چند مطالعاتی در تأیید این فرضیه در خارج از ایران انجام شده، هنوز مطالعه‌ای در این رابطه در ایران صورت نگرفته است. بدین منظور از آنتی‌بادی مونوکلونال ضد پروتئین ۲-bcl برای ارزیابی کمی و کیفی تظاهر آن استفاده شد. هدف از این مطالعه بررسی میزان و شدت ظاهر ۲-bcl در موارد غیرمهاجم BCC (سطحی، محدود) و موارد مهاجم (نفوذ کننده، شبه‌مورفه‌آ)، بوده است.

### روش بررسی

این مطالعه به صورت توصیفی تحلیلی روی نمونه‌های مربوط به بیماران که در سال‌های ۱۳۷۹ و ۱۳۸۰ به بخش آسیب‌شناسی بیمارستان حضرت رسول اکرم (ص) مراجعه کرده بودند و گزارش آسیب‌شناسی تومور پوستی آن‌ها بازال سل کارسینوما بود، صورت گرفت. بدین منظور بلوک‌های پارافینی نمونه‌های بیماران از بایگانی بخش آسیب‌شناسی خارج شد و از هر کدام از نمونه‌ها برش‌های رنگ‌آمیزی شده هماتوکسیلین و

میزان بالای تظاهر ۲-bcl با کاهش مراحل که به مرگ سلول منتهی می‌شوند، موجب افزایش طول عمر سلول از طریق کاهش آپوپتوز (مرگ برنامه‌ریزی شده سلول) می‌گردد (۲).

بسیاری از انکوژن‌ها از طریق تحریک رشد، اثر خود را اعمال می‌کنند اما خصوصیت منحصر به فرد ۲-bcl آن است که بدون اثر تحریکی بر تکثیر سلولی، سبب افزایش مدت زمان حیات سلول می‌شود (۳).

تغییرات عمل‌کردی در آنزیم‌های میتوکندریایی، مانند افزایش تظاهر گلوکاتایون پراکسیداز یا تغییر در ورود کلسیم به داخل میتوکندری به عنوان مکانیسم‌های پیشنهادی مطرح شده‌اند (۴). علاوه بر آن ۲-bcl عمل‌کرد interleukin-1- $\beta$ -Converting enzyme یک سیستمین پروتئاز پیش برنده آپوپتوز را تنظیم می‌کند (۵).

پروتئین ۲-bcl عضوی از خانواده پروتئین‌های تنظیم کننده آپوپتوز است که BAX و BCL-X را هم شامل می‌شود (۶).

هومودیم‌های Bax موجب افزایش آپوپتوز می‌شود در حالی که هترویدیم‌های ۲-bcl/bax موجب مهار آپوپتوز می‌شود.

۲-bcl/bax توسط p۵۳ که یک ژن سرکوب کننده تومور است، تحت نظارت قرار دارد. پدیده تظاهر بالای ۲-bcl در B-Chronic lymphocytic leukemia cells (CLL) (۷)، (FCC) Lymphoma Follicular center cell (۲) در سرطان‌های B-Cell با درجه بدخیمی بالا (۸)، در سرطان‌های ملانوسیت‌ها (۹) و هم چنین در فهرست رو به افزایشی از سرطان‌های اپی‌تلیال، شامل بدخیمی‌های ریوی (Small cell and non-small cell) (۱۰)، بدخیمی نازوفارنژیال در ارتباط با ویروس اپشتین بار (۱۱) و بدخیمی پروستات (۱۲) نشان داده شده است.

اولین بار ژن ۲-bcl در محل جابجایی کروموزومی کروموزوم‌های ۱۴ و ۱۸ (۱۴:۱۸) در لنفوم FCC پیدا شد (۱۳) اما بعدها در غیاب این جابجایی در تومورهای FCC نیز دیده شد (۸).

برای رنگ آمیزی ایمونوهیستوشیمی از آنتی بادی مونوکلونال ضد bcl-2 موش Anti human bcl-2 Oncoprotein mouse monoclonal antibody, IgG(antibody prediluted, clone 124; Signet, Dedham, MA, USA.), Level 2 Ultrastreptavidin Detection System(Signet, Inc.) که از روش Peroxidase labelled ultrastreptavidin-biotin همراه با DAB(3,3', Diaminobenzidine) به عنوان کروموژن بهره می گیرد، استفاده شد.

برای تشخیص اتصال های غیراختصاصی، از نمونه کنترل منفی استفاده گردید. بدین منظور مرحله اول رنگ آمیزی یعنی افزودن آنتی بادی مونوکلونال ضد bcl-2 حذف شد.

برای کنترل مثبت از برش بافت لوزه انسان استفاده گردید. ضمایم پوستی، لایه قاعده ای اپیدرم و لنفوسیت های درم به عنوان کنترل مثبت در نظر گرفته شدند.

وجود پروتئین bcl-2 در رنگ آمیزی ایمونوهیستوشیمی به صورت ایجاد رنگ قهوه ای در سیتوپلاسم سلول ها مشخص می شد. میزان کمی رنگ پذیری در سلول های تومورال در ۴ گروه صفر تا ۲۵٪، ۲۶-۵۰٪، ۵۱-۷۵٪ و ۷۶-۱۰۰٪ رتبه بندی شد.

شدت رنگ پذیری سلول های تومورال در نمونه ها به صورت خفیف، متوسط و شدید ارزیابی گردید. برای تجزیه و تحلیل آماری و مقایسه نتایج به دست آمده، آزمون مربع کای Chi-Square به کار برده شد.

### نتایج

این مطالعه توصیفی تحلیلی با هدف بررسی میزان تظاهر bcl-2 در انواع مهاجم و غیرمهاجم بازال سلل کارسینوما روی نمونه های مربوط به بیمارانی که در سال های ۱۳۷۹ و ۱۳۸۰ به بخش آسیب شناسی بیمارستان رسول اکرم (ص) مراجعه کرده بودند و گزارش آسیب شناسی تومور پوستی بازال سلل کارسینوما بود، صورت گرفت.

اُوزین (H&E) تهیه گردید سپس توسط میکروسکوپ نوری از نظر وجود شکل های مختلف هیستوپاتولوژیک سطحی (Superficial)، محدود (Circumscribed)، نفوذکننده (Infiltrative) و شبه مورفه آ (Morphea-like) مورد بررسی قرار گرفت.

BCC سطحی به صورت تکثیر سلول های قاعده ای آتیپیکال که در ارتباط با سطح زیرین اپیدرم و همراه با جمع شدگی (Retraction) در استرومای اطراف سلول های تومورال می باشد، تعریف می شود.

BCC محدود به صورت پیشرفت لبولار سلول های قاعده ای آتیپیکال به داخل درم رتیکولار دیده می شود.

در BCC شبه مورفه آ سلول های قاعده ای تومورال به صورت رشته های باریکی در زمینه ای از استرومای فیبروزه فراوان مشاهده می گردد.

BCC نفوذ کننده، ظاهری بین شکل های محدود و شبه مورفه آ دارد بدین معنی که سلول های تومورال هم به صورت رشته ها و هم تجمعات کوچک و نامنظم در زمینه ای از استروما که تا حدودی دسموپلاستیک می باشد، نفوذ می کنند (۲۳).

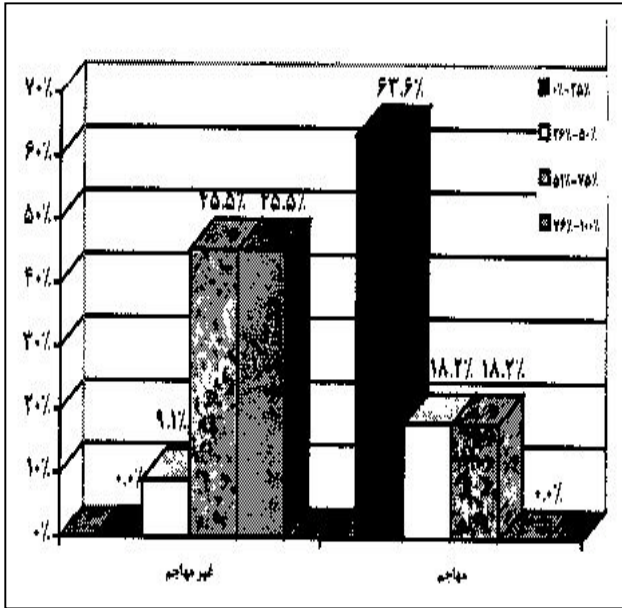
شکل های هیستوپاتولوژیک محدود و سطحی رشد غیرتهاجمی و شکل های نفوذ کننده و شبه مورفه آ رشد تهاجمی در بافت دارند (۲۳).

- رنگ آمیزی bcl-2: جهت رنگ آمیزی bcl-2 ابتدا برش هایی به ضخامت ۳ میکرومتر از بلوک های پارافینی تهیه شد سپس برش ها بر سطح آب شناور شده و روی اسلایدهای شیشه ای آغشته به Poly-L lysine قرار گرفت. پس از آن نمونه ها پارافین زدایی شد و جهت از بین بردن فعالیت پراکسیداز اندوژن از Blocking reagent (آب اکسیژنه ۳٪ در متانول) استفاده گردید. پس از آن برای دستیابی مجدد به آنتی ژن (Antigen retrieval)، نمونه ها به مدت ۱۵ دقیقه تحت تاثیر امواج میکروویو قرار گرفتند.

از ۳۳ مورد بررسی شده، ۷ نفر زن و ۲۶ نفر مرد بودند.

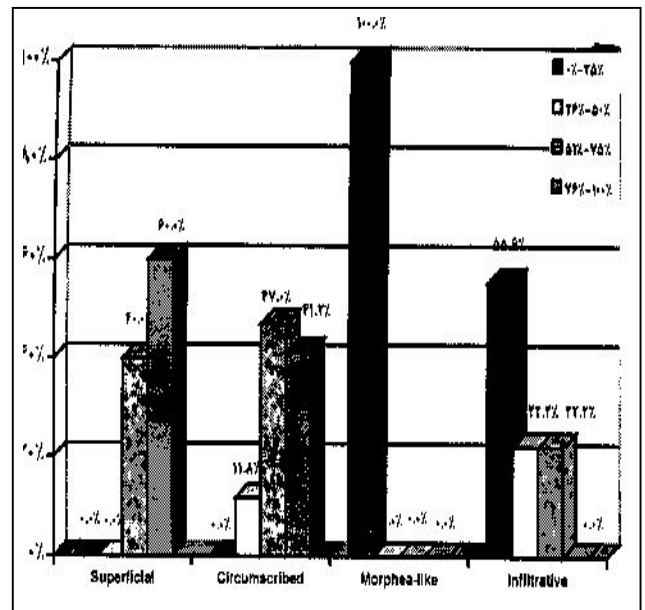
ضایعات در ۲۸ مورد در مناطقی از پوست بدن که در معرض تابش نور آفتاب قرار گرفته بودند و ۵ مورد در مناطقی از پوست بدن که در معرض تابش نور آفتاب نبودند ایجاد شده بود.

از نظر کمی بیشترین میزان رنگ‌پذیری برای bcl-2 به ترتیب در زیر گروه سطحی با بالاترین میزان و پس از آن زیر گروه محدود و به میزان کمتری در زیر گروه نفوذ کننده و با کمترین میزان رنگ‌پذیری در زیر گروه شبه مورفه‌آ مشاهده شد ( $P=0/004$ ) (نمودار شماره ۱).



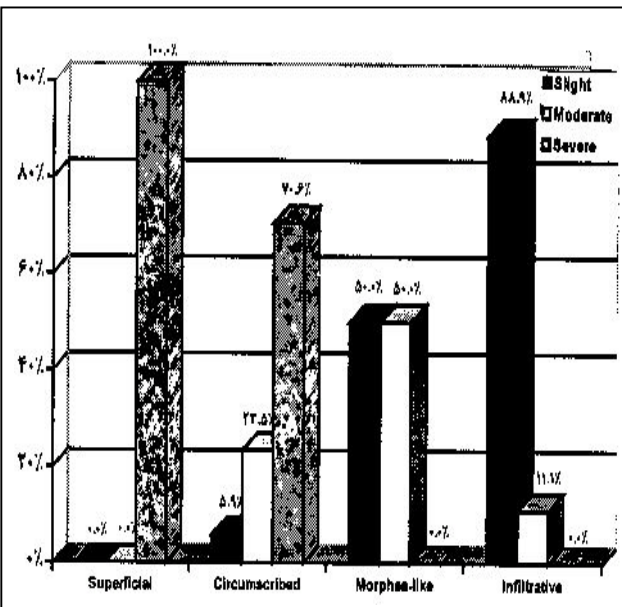
نمودار شماره ۲- مقایسه توزیع فراوانی مطلق و نسبی انواع مهاجم و غیرمهاجم BCC به تفکیک میزان تظاهر bcl-2

از نظر شدت رنگ‌پذیری، سلول‌های تومورال در زیر گروه‌های غیرمهاجم بازال سل کارسینوما با شدت بیشتری نسبت به موارد مهاجم رنگ گرفته بودند ( $P=0/001$ ) (نمودار شماره ۳ و ۴).

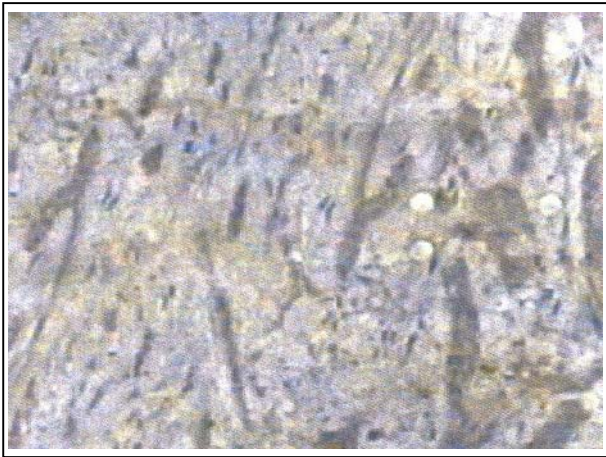


نمودار شماره ۱- مقایسه توزیع فراوانی مطلق و نسبی زیرگروه‌های BCC به تفکیک میزان تظاهر bcl-2

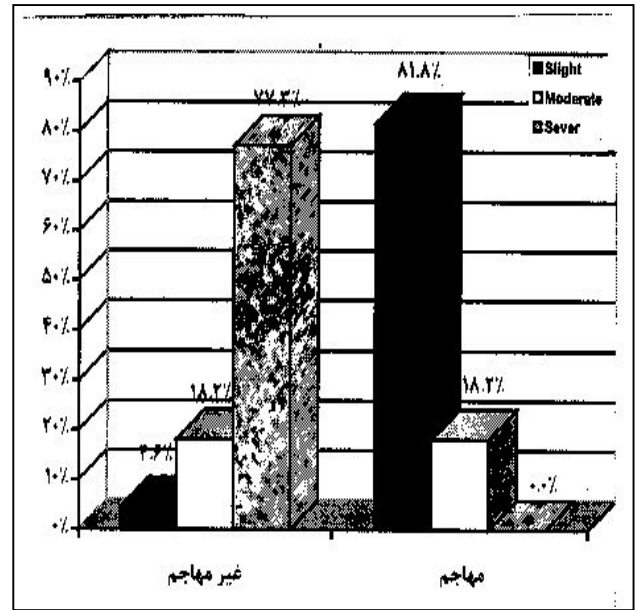
با توجه به غیرتهاجمی بودن زیر گروه‌های سطحی و محدود و تهاجمی بودن زیر گروه‌های نفوذ کننده و شبه مورفه‌آ تظاهر پروتئین bcl-2 در موارد غیرمهاجم بیشتر از موارد مهاجم بازال سل کارسینوما بود ( $P=0/001$ ) (نمودار شماره ۲).



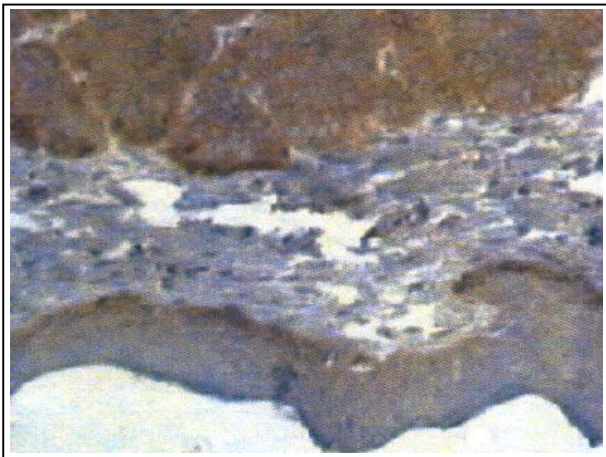
نمودار شماره ۳- مقایسه توزیع فراوانی مطلق و نسبی زیرگروه‌های BCC به تفکیک شدت تظاهر bcl-2



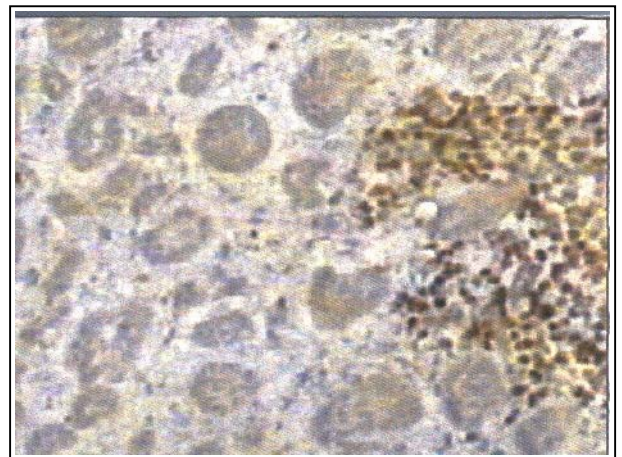
تصویر شماره ۳- BCC مهاجم: نمای شبه مورفهآ (-Morphea) (Like). رنگ‌پذیری پایین برای bcl-2



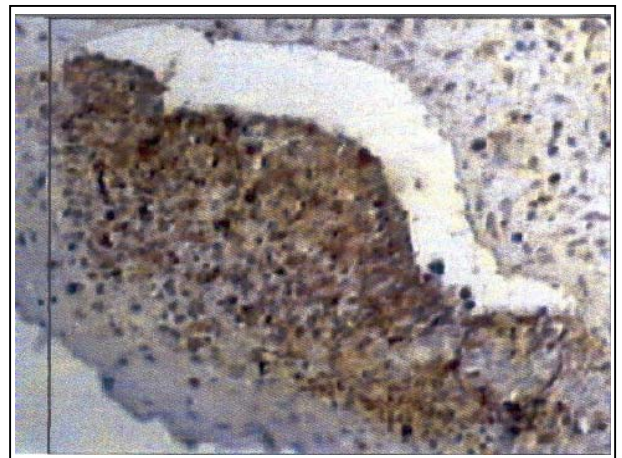
نمودار شماره ۴- مقایسه توزیع فراوانی مطلق و نسبی انواع مهاجم و غیرمهاجم BCC به تفکیک شدت تظاهر bcl-2



تصویر شماره ۴- BCC غیرمهاجم: نمای محدود (Circumscribed). رنگ‌پذیری بالا برای bcl-2



تصویر شماره ۱- BCC مهاجم: نمای نفوذکننده (Infiltrative) رنگ‌پذیری پایین برای bcl-2 لنفوسیت‌ها با رنگ‌پذیری برای bcl-2 در سمت راست



تصویر شماره ۲- BCC غیرمهاجم: نمای سطحی (superficial) رنگ‌پذیری بالا برای bcl-2

### بحث

تومورهای پوستی با منشا کراتینوسیت‌ها از شایع‌ترین تومورهای انسانی محسوب می‌شوند. با وجود این پاتورژنز مولکولی آن‌ها هنوز به خوبی مشخص نشده است (۱۶).  
 bcl-2 به طور طبیعی روی غشای داخلی میتوکندری، در بافت‌های جنینی و بالغ تظاهر پیدا می‌کند اما آپوپتوز و عمل bcl-2 ارتباطی با فعالیت تنفسی میتوکندری ندارد (۲۴).  
 تظاهر پروتئین bcl-2 در تمام بافت‌های اپی‌تلیالی، محدود به سلول‌های قاعده‌ای بوده و در سلول‌های سطحی‌تر که تمایز یافته‌اند دیده نمی‌شود. در نتیجه این مسئله مطرح می‌شود که bcl-2 در تداوم حیات سلول‌های پایه‌ای دخالت

موارد می‌تواند ایجاد موتاسیون در ژن p53 در اثر اشعه ماورای بنفش خورشید باشد (۱۹). تظاهر متفاوت bcl-2 در زیرگروه‌های مختلف مهاجم و غیرمهاجم هیستوپاتولوژیک BCC به نفع آن است که با وجود منشا گرفتن این تومور از سلول‌های قاعده‌ای و محدود بودن موارد متاستاز تومور، BCC دسته ناهمگونی از تومورها را تشکیل می‌دهد.

موارد BCC با رشد غیرتهاجمی (سطحی، محدود) با میزان و شدت بیش‌تری برای bcl-2 رنگ می‌پذیرند در حالی که موارد BCC با رشد تهاجمی (نفوذکننده، شبه مورفه‌آ) رنگ‌پذیری کم‌تری را برای bcl-2 نشان می‌دهند. با توجه به نتایج مطالعه حاضر و همچنین مطالعات قبلی به نظر می‌رسد که تعیین تظاهر bcl-2 در افتراق انواع مهاجم از غیر مهاجم BCC به خصوص در موارد مشکوک و در ارزیابی پیش‌آگهی تومور کمک کننده باشد. مطالعه‌ای دیگر با حجم نمونه بیش‌تر می‌تواند در این زمینه مفید واقع گردد.

#### منابع

- 1- Hockwnbery D., Nunez G., Milliman C. Bcl.2 is an inner mitochondrial membrane protein that blocks programmed cell death, *Nature*, 1990, 348: 334-336.
- 2- Vaux DL., Cory S., Adams JM. Bcl-2 gene promotes haematopoietic cell survival and cooperates with c-myc to immortalize pre-B cells, *Nature*, 1988, 335: 440-442.
- 3- Baer R. Bcl-2 breathes life into embryogenesis, *Am J Pathol*, 1994, 145: 7.
- 4- Lam M., Dubyak C., Chen L. Evidence that bcl-2 represses apoptosis by regulating endoplasmic reticulum-associated Ca<sup>2+</sup> fluxes, *Proc Natl Acad Sci USA*, 1994, 91: 6569-6573.
- 5- Oltvai ZN., Korsmeyer SJ. Checkpoints of dueling dimers foil death wishes, *Cell*, 1994, 79: 189-192.
- 6- Vincent T., Devita JR., Samuel Hellman., Steven A. Rosenberg. *Cancer, principles and practice of oncology*, 6 th edition, Philadelphia, Lippincott Williams&Wilkins, 2001, vol 2, PP: 2221.

دارد و از طرفی مانع تجمع بیش از حد سلول‌های تمایز یافته می‌شود. در پوست هم bcl-2 در لایه قاعده‌ای اپیدرم و فولیکول مو وجود دارد (۱۸ و ۲۱). تظاهر bcl-2 در BCC نشانه منشا گرفتن آن از سلول‌های پایه‌ای اپیدرم یا از سلول‌های بنیادین در برآمدگی فولیکول مو می‌باشد (۱۸ و ۲۵). در مطالعه‌ای که Verhaegh و همکارانش روی تظاهر bcl-2 در سرطان‌های پوستی غیر ملانومی انجام دادند تمام موارد BCC برای bcl-2 رنگ‌پذیری داشتند اما تفاوتی در تظاهر bcl-2 بین زیر گروه‌های مختلف BCC مشاهده نشد (۱۸). از سوی دیگر Crowson و همکارانش تظاهر متفاوت bcl-2 را بین زیر گروه‌های غیرمهاجم و مهاجم BCC با ارجحیت تظاهر bcl-2 در زیرگروه‌های غیرمهاجم گزارش کردند. رنگ‌پذیری سلول‌های تومورال برای bcl-2 به میزان کم‌تر از ۲۵٪، در ۳ مورد از ۱۴ مورد Superficial BCC، تا ۴ مورد از ۱۳ مورد Circumscribed و ۶ مورد از ۱۰ مورد infiltrative و ۱ مورد از ۱ مورد Morpheaform و metatypical افزایش نشان داده بود (P=۰/۰۲۸) (۱۹).

در مطالعه‌ای دیگر که توسط Ramdial و همکارانش در مورد تظاهر پروتئین bcl-2 در زیرگروه‌های غیرمهاجم و مهاجم BCC صورت گرفت تظاهر قابل توجه این انکوپروتئین در زیرگروه‌های مهاجم مشاهده شد (P<۰/۰۱) (۲۶). در مطالعه حاضر تظاهر bcl-2 در تمام موارد BCC مطرح کننده این مطلب است که این انکوپروتئین سبب تجمع تعداد زیادی از سلول‌های نئوپلاستیک که از سلول‌های پایه‌ای اپیدرم یا فولیکول مو منشا می‌گیرند شده و سبب ایجاد زیر گروه‌های غیرمهاجم BCC می‌گردد. پروتئین bcl-2 طول عمر سلول‌های نئوپلاستیک را در زیر گروه‌های غیرمهاجم افزایش می‌دهد در نتیجه آن‌ها را در معرض مداوم سرطان‌زای پوستی که مهم‌ترین آن‌ها اشعه ماورای بنفش خورشید است قرار می‌دهد. این امر می‌تواند موجب افزایش موتاسیون در این سلول‌ها شده و آن‌ها را به سمت ایجاد زیر گروه‌های مهاجم BCC سوق دهد (۱۹). یکی از این

neoplastic cell growth in cutaneous basal cell carcinoma, *J Cutan Pathol*, 1994, 21: 398.

18- Verhaegh MEJM., Sanders CJG., Arends JW., Neumann HAM. Expression of the apoptosis suppressing protein bcl-2 in non-melanoma skin cancer, *Br J Dermatol*, 1995, 132: 740.

19- Crowson AN., Magro CM., Kadin ME., Strans M. Differential expression of the bcl-2 oncogene in human basal cell carcinoma, *Hum Pathol*, 1996, 27: 355.

20- Mooney EE., Ruis Peris JM., O'Neill A., Sweeney EC. Apoptotic and mitotic indices in malignant melanoma and basal cell carcinoma, *J Clin Pathol*, 1995, 48: 242.

21- Morales-Ducret CRJ., Van de Rijn M., Lebrun DP., Smoller BR. Bcl-2 expression in primary malignancies of the skin, *Arch Dermatol*, 1995, 131: 909.

22- Ponten F., Ren Z., Nister M. Epithelial-stromal interactions in basal cell cancer. The PGDF system, *J Inv Dermatol*, 1994, 102: 304-309.

23- David Elder., Rosalie Elenitsas., Christine Jaworsky., Bennett Johnson JR., Lever's Histopathology of the skin, 8th edition, Newyork, Lippincott-Raven, 1997, PP: 719-731.

24- Craig RW. The bcl-2 gene family, *Cancer Biol*, 1995, 6: 35.

25- Chang C-H., Tsai R-K., Chen G-S., Yu H-S., Chai C-Y. Expression of bcl-2, p53 and ki67 in arsenical skin cancers, *J Cutan Pathol*, 1998, 25: 457.

26- Ramdial Pratistadevi K., Madaree Anil., Reddy Roshilla., Chetty Runjan. Bcl-2 protein expression in aggressive and non-aggressive basal cell carcinomas, *J cutan Pathol*, 2000, 27: 283-291.

7- Schena M., Larsson L-G., Gottardi D. Growth and differentiation associated expression of bcl-2 in B-chronic lymphocytic leukemia cells, *Blood*, 1992, 79: 2981-2989.

8- Pzella F., Gatter KC., Mason DY. Bcl-2 protein expression in follicular lymphomas in absence of t 14; 18 translocation, *Lancet*, 1990, 336: 1510-1511.

9- Cerroni L., Soyer HP., Kerl H. Bcl-2 protein expression in cutaneous malignant melanoma and benign melanocytic nevi, *m J Dermatopathol*, 1995, 17: 7-11.

10- Ben-Ezra JM., Kornstein MJ., Grimes MM. Sall cell carcinomas of the lung express the Bcl-2 protein, *Am J Pathol*, 1994, 145: 1036-1040.

11- Lu QL., Elia G., Lucas S. Bcl-2 proto-oncogene expression in Epstein-Barr virus associated nasopharyngeal carcinoma, *Int J Cancer*, 1993, 53: 29-35.

12- McDonnell TJ., Tronocoso P., Brisbay SM. Expression of the protooncogene bcl-2 in the prostate and its association with the emergence of androgen-independent prostate cancer, *Cancer Res* 1992, 52: 6940-6944.

13- Ngan B-Y., Chen-Levy Z., Weiss LM. Expression in non Hodgkin's lymphomas of the bcl-2 protein associated with the t(14:18) chromosomal translocation, *N Engl J Med*, 1988, 318: 1638-1644.

14- Lu QL., Poulson R., Wong L. Bcl-2 expression in adult and embryonic non-haematopoietic tissues, *J Pathol*, 1993, 169: 431-437.

15- Hockenbery D., Zutter M., Hickey W. Bcl-2 protein is topographically restricted in tissues characterized by apoptotic cell death, *Proc Natl Acad Sci USA*, 1991, 88: 6961-6965.

16- Nakagawa K., Yamamura K., Maeda S., Ichihashi M. Bcl-2 expression in epidermal keratinocyte diseases, *Cancer*, 1994, 74: 1720.

17- Cerroni L., Kerl H. Aberrant bcl-2 protein expression provides a possible mechanism of

## *Evaluation of Bcl-2 Expression in Aggressive and Non-aggressive Basal Cell Carcinomas*

**P. Salehian Dardashti, MD<sup>I</sup> \*E. Amini, MD<sup>II</sup>**

### *Abstract*

Bcl-2, a well-known anti-apoptotic gene, promotes cell viability without cell proliferation. Expression of the bcl-2 oncogene is reported in certain low grade neoplasms including Basal Cell Carcinomas (BCCs). Bcl-2 expression in BCCs is contradictory, with 67-100% immunopositivity being reported. The purpose of this study was to evaluate bcl-2 expression in the indolent variants of BCC, namely superficial and circumscribed subtypes and their aggressive counterparts; infiltrative and morphea-like subtypes. Anti-human bcl-2 monoclonal antibody was used to identify its protein product in formalin-fixed tissue from 33 BCCs. 22 histopathologically non-aggressive and 11 aggressive subtypes were investigated. Quantity of decoration of tumor cells for bcl-2 was graded in the following fashion: 0 to 25%, 26% to 50%, 51% to 75%, 76% to 100%. Intensity of decoration was evaluated as slight, moderate and intense. Bcl-2 expression was observed in all of the BCCs, but high bcl-2 expression was statistically a significant feature of non-aggressive BCCs (P=0.001). Different bcl-2 expression in various non-aggressive and aggressive histopathological subtypes of BCCs suggests that despite the common derivation of these tumors from a primitive basaloid stem cell and a limited potential for metastasis, they form a heterogeneous group of tumors. While the superficial and circumscribed BCCs are indolent slow-growing tumors with high bcl-2 labeling, the aggressive BCCs are infiltrative and morphea-like tumors with low bcl-2 labeling. High expression of bcl-2 may indicate a more favorable prognosis in BCCs.

**Key Words: 1) Bcl-2 2) BCC 3) Oncogene 4) Apoptosis**

*This article is a summary of the thesis by E.Amini, MD for the degree of specialty in Pathology under supervision of P. Salehian Dardashti, MD in 2002. It has also been conducted under financial support of undersecretary of research of Iran University of Medical Sciences and Health Services.(No.P/32)*

**I)** Assistant Professor of Pathology. Hashemi Nejad Hospital, Vali-Nejad Ave., Iran University of Medical Sciences and Health Services. Tehran, Iran.

**II)** Resident of Pathology. Hashemi Nejad Hospital, Vali-Nejad Ave., Iran University of Medical Sciences and Health Services. Tehran, Iran. (\*Corresponding Author)